

现代控制理论

——多智能体系统协调控制

郑建英

北京航空航天大学 自动化科学与电气工程学院

本节基本内容

- ① 多智能体系统的基本概念
- ② 图论
- ③ 离散时间多智能体系统一致性问题分析
- ④ 连续时间多智能体系统一致性问题分析

- ① 多智能体系统的基本概念
- ② 图论
- ③ 离散时间多智能体系统一致性问题分析
- ④ 连续时间多智能体系统一致性问题分析

多智能体系统的基本概念

自然界中的群体现象：合作 \implies 更好的环境适应性



鱼群



鸟群



狼群



蚁群

多智能体系统的基本概念

- 1986 年美国麻省理工学院的 Minsky 提出了智能体 (agent) 的概念，并且把生物界个体社会行为的概念引入到计算机学科领域
- 智能体指具有自治性、反应性、主动性、社会性和进化性的基本特性的实体，它嵌入到环境中，通过传感器感知环境，通过执行器自治地作用于环境并满足设计要求。

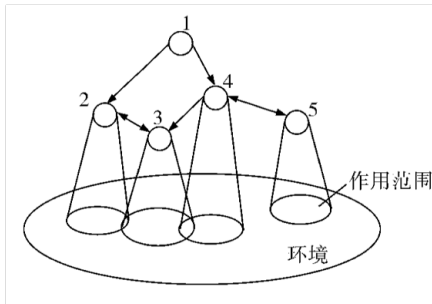


智能体与环境交互示意图

多智能体系统的基本概念

多智能体系统

- 多个智能体 + 网络互连 = 复杂大规模系统 “系统的系统”
- 目标：相互协作实现复杂智能，提高系统鲁棒性、可靠性、灵活性
- 主要特点：自主性、容错性、灵活性和可扩展性、协作能力。



多智能体系统的基本概念

应用：飞行器编队、传感器网络、数据融合、多机械臂协同装备、并行计算、多机器人合作控制、交通车辆控制、网络的资源分配...



编队控制



传感器网络

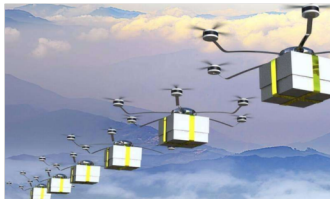


数据融合



交通车辆控制

多智能体系统的基本概念



高效、可靠、灵活、低成本

多智能体系统的基本概念

协调控制

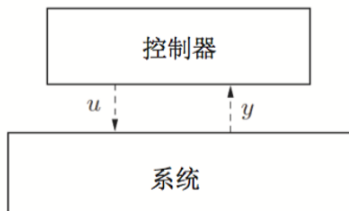
- ① 一致性控制
- ② 会合控制
- ③ 聚结控制
- ④ 编队控制

后三者可视为一致性控制的推广与特例。多智能体系统达到一致是实现协调控制的首要条件。

多智能体系统的基本概念

主要控制结构类型

- 集中式控制结构



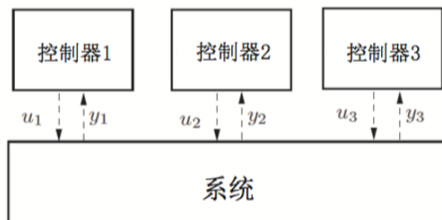
集中式控制结构 (其中 u 是控制输入, y 是系统输出)。

- 优点: 结构简单, 更容易实现系统的整体统一性
- 缺点: 中央控制器的负担大, 适用于结构相对简单的小型系统

多智能体系统的基本概念

主要控制结构类型

- 去中心式控制结构



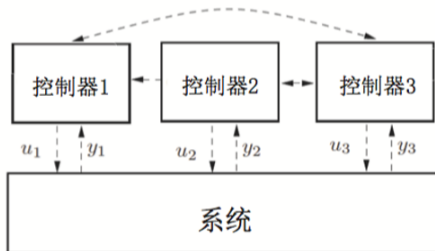
去中心式控制结构 (其中 u_1, u_2, u_3 是控制输入, y_1, y_2, y_3 是系统输出)。

- 优点: 并行运算
- 缺点: 控制器的相对独立而导致能实现的整体系统性能很有限; 不适用于耦合度比较强的系统

多智能体系统的基本概念

主要控制结构类型

● 分布式控制结构



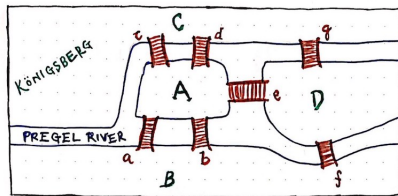
分布式控制结构 (其中 u_1, u_2, u_3 是控制输入, y_1, y_2, y_3 是系统输出)。

- 结合了集中式控制结构和去中心式控制结构的优点
- 避免了集中式控制结构和去中心式控制结构的缺点

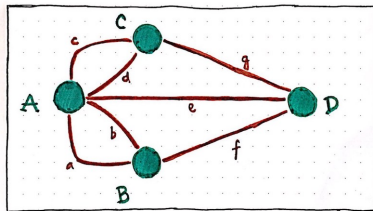
多智能体系统分布式协调控制

- ① 多智能体系统的基本概念
- ② 图论
- ③ 离散时间多智能体系统一致性问题分析
- ④ 连续时间多智能体系统一致性问题分析

图：描述某些事物之间的某种特定关系



The Seven Bridges of Königsberg



The Seven Bridges of Königsberg—Revisualized

■ $\mathcal{G} = (\mathcal{V}, \mathcal{E})$ 或者 $\mathcal{G} = (\mathcal{V}, \mathcal{E}, \mathcal{A})$

- 顶点集合 $\mathcal{V} = \{v_1, \dots, v_n\}$
- 边集合 $\mathcal{E} \subset \mathcal{V} \times \mathcal{V}$
- 连接权值矩阵 \ 邻接矩阵 $\mathcal{A} = [a_{ij}]$:
 - $a_{ij} > 0$ 当 $(v_j, v_i) \in \mathcal{E}, i \neq j$; 否则 $a_{ij} = 0$
 - ★ $a_{ij} \in \{0, 1\}$

- 有向图 边是有方向的, $(v_j, v_i) \in \mathcal{E}$ 即 v_j 为起点, v_i 为终点
 - 完整图: $(i, j) \in \mathcal{E}, \forall i \neq j$

无向图 无向边, 即 $(v_j, v_i) \in \mathcal{E} \iff (v_i, v_j) \in \mathcal{E}$, A 对称矩阵

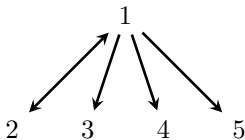


图: 有向图

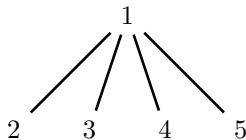


图: 无向图

- v_j is v_i 的邻居: $(v_j, v_i) \in \mathcal{E}$
- v_i 的邻居集合: $\mathcal{N}_i = \{j : (v_j, v_i) \in \mathcal{E}\}$
- v_i 的入度 $\deg_i^{\text{in}} = \sum_{j=1}^n a_{ij}$; v_i 的出度 $\deg_i^{\text{out}} = \sum_{j=1}^n a_{ji}$
 v_i 是平衡的当 $\deg_i^{\text{in}} = \deg_i^{\text{out}}$
- 平衡图: 所有顶点都是平衡的

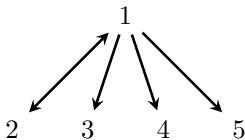


图: 有向图

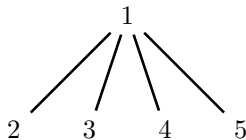
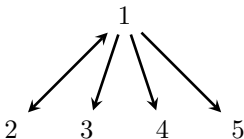


图: 无向图

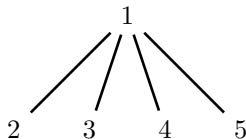
- 从 v_i 到 v_j 的路径： 存在顶点（不重复）与边的交替序列

$$v_i, (v_i, v_{i1}), v_{i1}, (v_{i1}, v_{i2}), \dots, (v_{ik}, v_j), v_j$$

- v_i 对 v_j 是可达： 存在从 v_j 到 v_i 的路径
- v_i, v_j 是互达： 存在从 v_j 到 v_i 和从 v_i 到 v_j 的路径
- 树： 任何两个顶点存在唯一一条路径的无向图
- 有向树：
 - 有且仅有一个顶点（称作根顶点）没有入邻居
 - 除根顶点外的其他顶点只有一个入邻居
 - 从根顶点到其他顶点只有一条唯一路径



图：有向图



图：无向图

- 子图 $\mathcal{G}' = \{\mathcal{V}', \mathcal{E}'\}$: $\mathcal{V}' \subset \mathcal{V}, \mathcal{E}' \subset \mathcal{E}$
 - 生成子图: $\mathcal{V}' = \mathcal{V}$
 - 生成树: $\mathcal{V}' = \mathcal{V}$ 且 \mathcal{G}' 是树
- 连通性
 - 包含有向生成树
 - 强连通: 任意一对顶点互相可达
 - 无向图: 强连通 = 包含生成树

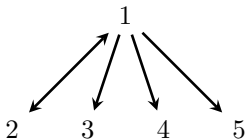


图: 有向图

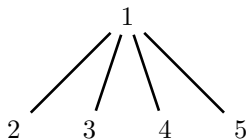


图: 无向图

• Laplacian 矩阵

$$\mathcal{L} = \mathcal{D} - \mathcal{A}, \mathcal{D} = \text{diag}(\deg_1^{\text{in}}, \dots, \deg_n^{\text{in}})$$

- $\mathcal{L} \begin{bmatrix} 1 & 1 & \dots & 1 \end{bmatrix}' = 0 \Rightarrow 0$ 是 \mathcal{L} 的特征根
- 特征根 $\lambda_i, i = 1, \dots, n$: $0 = |\lambda_1| \leq |\lambda_2| \leq \dots \leq |\lambda_n|$
- 无向图: \mathcal{L} 对称, 半正定 $\Rightarrow \lambda_i \geq 0$

定理 1

\mathcal{L} 的非零特征根全部具有正实部。进一步, G 包含一颗有向生成树当且仅当 0 是 \mathcal{L} 的简单特征根且特征向量为 $\begin{bmatrix} 1 & 1 & \dots & 1 \end{bmatrix}'$

■ 无向图 G 是连通的当且仅当 $\lambda_2 > 0$

• Laplacian 矩阵

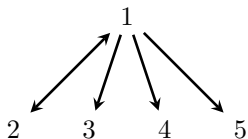
$$\mathcal{L} = \mathcal{D} - \mathcal{A}, \mathcal{D} = \text{diag}(\deg_1^{\text{in}}, \dots, \deg_n^{\text{in}})$$

- $\mathcal{L} \begin{bmatrix} 1 & 1 & \dots & 1 \end{bmatrix}' = 0 \Rightarrow 0$ 是 \mathcal{L} 的特征根
- 特征根 $\lambda_i, i = 1, \dots, n: 0 = |\lambda_1| \leq |\lambda_2| \leq \dots \leq |\lambda_n|$
- 无向图: \mathcal{L} 对称, 半正定 $\Rightarrow \lambda_i \geq 0$

定理 1

\mathcal{L} 的非零特征根全部具有正实部。进一步, G 包含一颗有向生成树当且仅当 0 是 \mathcal{L} 的简单特征根且特征向量为 $\begin{bmatrix} 1 & 1 & \dots & 1 \end{bmatrix}'$

■ 无向图 G 是连通的当且仅当 $\lambda_2 > 0$



$$\mathcal{A} = \begin{bmatrix} 0 & 1 & 0 & 0 & 0 \\ 1 & 0 & 0 & 0 & 0 \\ 1 & 0 & 0 & 0 & 0 \\ 1 & 0 & 0 & 0 & 0 \\ 1 & 0 & 0 & 0 & 0 \end{bmatrix}, \mathcal{D} = \begin{bmatrix} 1 & & & & \\ & 1 & & & \\ & & 1 & & \\ & & & 1 & \\ & & & & 1 \end{bmatrix}, \mathcal{D}_{\text{out}} = \begin{bmatrix} 4 & & & & \\ & 1 & & & \\ & & 0 & & \\ & & & 0 & \\ & & & & 0 \end{bmatrix}$$

- 有向非平衡图
- 包含一颗有向生成树；非强连通

$$\bullet \mathcal{L} = \mathcal{D} - \mathcal{A} = \begin{bmatrix} 1 & -1 & 0 & 0 & 0 \\ -1 & 1 & 0 & 0 & 0 \\ -1 & 0 & 1 & 0 & 0 \\ -1 & 0 & 0 & 1 & 0 \\ -1 & 0 & 0 & 0 & 1 \end{bmatrix}, \text{特征根: } 0, 1, 1, 1, 2$$

$$\mathcal{A} = [a_{ij}], \mathcal{D} = \text{diag} \left\{ \sum_{j=1}^n a_{1j}, \dots, \sum_{j=1}^n a_{nj} \right\}$$
$$\mathcal{L} = \mathcal{D} - \mathcal{A}$$

- a_{ij} 非负实数—正实拉普拉斯矩阵:
 - ★ 一致性控制、平移编队控制问题、一致性滤波问题...
- a_{ij} 实数—符号拉普拉斯矩阵:
 - ★ 双一致性问题、簇一致性问题、仿射编队控制问题
- a_{ij} 复数—复拉普拉斯矩阵:
 - ★ 相似队形控制问题、基于相对位置的定位问题

- ① 多智能体系统的基本概念
- ② 图论
- ③ 离散时间多智能体系统一致性问题分析
- ④ 连续时间多智能体系统一致性问题分析

一致性控制

一致性 (consensus):

局部协作和相互通信 → 个体调整更新自己行为 → 最终每个个体达到相同的状态

三要素:

- ① 具有**动力学特征**的智能体个体
- ② 智能体之间用于信号传输的**通信拓扑**
- ③ 智能体个体对输入信号的响应，即**一致性协议**

研究历程:

群集现象模拟阶段 → 理论体系建立阶段 → 理论完善和实际应用阶段

一致性控制

多个方面展开工作：

- 连续时间 vs 离散时间
- 有领导者 vs 无领导者
- 无丢包 vs 丢包
- 固定拓扑 vs 切换拓扑 通信网络不确定性
- 无时滞 vs 有时滞

离散时间一致性控制

离散时间多智能体线性系统

$$x_i(k+1) = Ax_i(k) + Bu_i(k), i \in \{1, \dots, N\} \quad (1)$$

- x_i : 第 i 个子系统的状态; u_i : 第 i 个子系统的输入
- 拓扑结构 $\mathcal{G} = \{\mathcal{V}, \mathcal{E}, \mathcal{A}\}$
 - ★ $\mathcal{V} = \{1, 2, \dots, N\}$, $\mathcal{E} \subset \mathcal{V} \times \mathcal{V}$
 - ★ 邻接矩阵 $\mathcal{A} = [a_{ji}]$: $a_{ji} = 1$ if $(i, j) \in \mathcal{E}$; 否则 $a_{ji} = 0$
 - ★ Laplacian 矩阵 $\mathcal{L} = \mathcal{D} - \mathcal{A}$, $\mathcal{D} = \text{diag} \left\{ \sum_{j=1}^N a_{1j}, \dots, \sum_{j=1}^N a_{Nj} \right\}$
 - 特征根 $\lambda_i, i = 1, \dots, n$: $0 = |\lambda_1| \leq |\lambda_2| \leq \dots \leq |\lambda_n|$
 - 无向图: \mathcal{L} 对称, 半正定 $\implies \lambda_i \geq 0$

离散时间一致性控制

离散时间多智能体线性系统

$$x_i(k+1) = Ax_i(k) + Bu_i(k), i \in \{1, \dots, N\}$$

- x_i : 第 i 个子系统的状态; u_i : 第 i 个子系统的输入
- 拓扑结构 $\mathcal{G} = \{\mathcal{V}, \mathcal{E}, \mathcal{A}\}$

分布式线性一致性协议

$$u_i(k) = K \sum_{j \in \mathcal{N}_i} (x_j(k) - x_i(k)) \quad (2)$$

一致性控制

存在控制增益 K 使得闭环系统满足

$$\lim_{k \rightarrow \infty} \|x_i(k) - x_j(k)\|^2 = 0, \forall i, j \in \{1, \dots, N\}$$

离散时间一致性控制

离散时间多智能体线性系统

$$x_i(k+1) = Ax_i(k) + Bu_i(k), i \in \{1, \dots, N\}$$

- x_i : 第 i 个子系统的状态; u_i : 第 i 个子系统的输入
- 拓扑结构 $\mathcal{G} = \{\mathcal{V}, \mathcal{E}, \mathcal{A}\}$

研究目标: 保证 K 存在的一致性条件和设计 K

假设条件

- ① A 的所有特征根不在单位圆内; $[A|B]$ 是可控的
- ② \mathcal{G} 是无向图且连通 $\iff \lambda_2 > 0$
- ③ \mathcal{G} 是有向图且包含一颗有向生成树 $\iff \lambda_2 \neq 0$

参考文献

K. You and L. Xie, "Network topology and communication data rate for consensusability of discrete-time multi-agent systems," *IEEE Transactions on Automatic Control*, 2011.

离散时间一致性问题分析

闭环系统
$$x_i(k+1) = Ax_i(k) + BK \sum_{j \in \mathcal{N}_i} (x_j(k) - x_i(k))$$
$$= Ax_i(k) + BK \sum_{j=1, \dots, N} a_{ij}(x_j(k) - x_i(k)), \quad i = 1, \dots, N$$

$$\begin{bmatrix} x_1(k+1) \\ x_2(k+1) \\ \vdots \\ x_N(k+1) \end{bmatrix} = \left(\begin{bmatrix} A & & \\ & A & \\ & & \ddots \\ & & & A \end{bmatrix} + \begin{bmatrix} -BK \sum_{j \in \mathcal{N}_1} a_{1j} & BK a_{12} & \dots & BK a_{1N} \\ BK a_{21} & -BK \sum_{j \in \mathcal{N}_2} a_{2j} & \dots & BK a_{2N} \\ \vdots & \vdots & \ddots & \vdots \\ BK a_{N1} & BK a_{N2} & \dots & -BK \sum_{j \in \mathcal{N}_N} a_{Nj} \end{bmatrix} \right) \begin{bmatrix} x_1(k) \\ x_2(k) \\ \vdots \\ x_N(k) \end{bmatrix}$$

令 $X(k) = [x'_1(k) \quad x'_2(k) \quad \dots \quad x'_N(k)]'$

$$\implies X(k+1) = (I_N \otimes A - \mathcal{L} \otimes BK)X(k) \quad (2)$$

Kronecker 积: $X \otimes Y = \begin{bmatrix} x_{11} Y & \dots & x_{1n} Y \\ \vdots & \dots & \vdots \\ x_{m1} Y & \dots & x_{mn} Y \end{bmatrix}$

离散时间一致性问题分析

闭环系统 $x_i(k+1) = Ax_i(k) + BK \sum_{j \in \mathcal{N}_i} (x_j(k) - x_i(k))$

$$= Ax_i(k) + BK \sum_{j=1, \dots, N} a_{ij}(x_j(k) - x_i(k)), \quad i = 1, \dots, N$$

$$\begin{bmatrix} x_1(k+1) \\ x_2(k+1) \\ \vdots \\ x_N(k+1) \end{bmatrix} = \left(\begin{bmatrix} A & & \\ & A & \\ & & \ddots \\ & & & A \end{bmatrix} + \begin{bmatrix} -BK \sum_{j \in \mathcal{N}_1} a_{1j} & BK a_{12} & \dots & BK a_{1N} \\ BK a_{21} & -BK \sum_{j \in \mathcal{N}_2} a_{2j} & \dots & BK a_{2N} \\ \vdots & \vdots & \ddots & \vdots \\ BK a_{N1} & BK a_{N2} & \dots & -BK \sum_{j \in \mathcal{N}_N} a_{Nj} \end{bmatrix} \right) \begin{bmatrix} x_1(k) \\ x_2(k) \\ \vdots \\ x_N(k) \end{bmatrix}$$

令 $X(k) = [x'_1(k) \quad x'_2(k) \quad \dots \quad x'_N(k)]'$

$$\Rightarrow X(k+1) = (I_N \otimes A - \mathcal{L} \otimes BK)X(k) \quad (2)$$

Kronecker 积: $X \otimes Y = \begin{bmatrix} x_{11} Y & \dots & x_{1n} Y \\ \vdots & \dots & \vdots \\ x_{m1} Y & \dots & x_{mn} Y \end{bmatrix}$

离散时间一致性问题分析

误差动态特性—无向图

$$\begin{aligned}\bar{X}(k) &= \frac{1}{N} \sum_{i=1}^N x_i(k), \delta_i(k) = x_i(k) - \bar{X}(k), \mathbf{1}_N = [1 \quad 1 \quad \dots \quad 1]' \\ \delta(k) &= \begin{bmatrix} \delta_1(k) \\ \vdots \\ \delta_N(k) \end{bmatrix} = \begin{bmatrix} x_1(k) - \bar{X}(k) \\ \vdots \\ x_N(k) - \bar{X}(k) \end{bmatrix} = \begin{bmatrix} x_1(k) - \frac{1}{N} \sum_{i=1}^N x_i(k) \\ \vdots \\ x_N(k) - \frac{1}{N} \sum_{i=1}^N x_i(k) \end{bmatrix} \\ &= X(k) - \begin{bmatrix} \frac{1}{N} I_n & \dots & \frac{1}{N} I_n \\ \vdots & & \vdots \\ \frac{1}{N} I_n & \dots & \frac{1}{N} I_n \end{bmatrix} \begin{bmatrix} x_1(k) \\ \vdots \\ x_N(k) \end{bmatrix} \\ &= \left(I_N \otimes I_n - \frac{\mathbf{1}_N \mathbf{1}_N'}{N} \otimes I_n \right) X(k)\end{aligned}$$

一致性等价于 $\lim_{k \rightarrow \infty} \|\delta_i(k)\| = 0 \quad \forall i \in 1, \dots, N$

离散时间一致性问题分析

误差动态特性—无向图

$$\delta(k) = \left(I_N \otimes I_n - \frac{\mathbf{1}_N \mathbf{1}'_N}{N} \otimes I_n \right) X(k)$$

$$(A \otimes B)(C \otimes D) = AC \otimes BD$$

$$\begin{aligned} \Rightarrow \delta(k+1) &= [I_N \otimes I_n - (\frac{\mathbf{1}_N \mathbf{1}'_N}{N}) \otimes I_n] X(k+1) \\ &= [I_N \otimes I_n - (\frac{\mathbf{1}_N \mathbf{1}'_N}{N}) \otimes I_n] (I_N \otimes A - \mathcal{L} \otimes BK) X(k) \\ &= (I_N \otimes A) [I_N \otimes I_n - (\frac{\mathbf{1}_N \mathbf{1}'_N}{N}) \otimes I_n] X(k) \\ &\quad - (\mathcal{L} \otimes BK) [I_N \otimes I_n - (\frac{\mathbf{1}_N \mathbf{1}'_N}{N}) \otimes I_n] X(k) \\ &= (I_N \otimes A - \mathcal{L} \otimes BK) \delta(k) \end{aligned}$$

多智能体系统一致性控制问题 = 误差系统镇定问题

离散时间一致性问题分析

误差动态特性—无向图

- 0 是 \mathcal{L} 的特征根且存在右单位特征向量 $\frac{\mathbf{1}_N}{\sqrt{N}}$

- 选择 ϕ_i 满足

$$\mathcal{L}\phi_i = \lambda_i\phi_i, i = 2, \dots, N,$$

并构成一个酉矩阵 (unitary matrix)

$$\Phi = \begin{bmatrix} \frac{\mathbf{1}_N}{\sqrt{N}} & \phi_2 & \cdots & \phi_N \end{bmatrix}, (\Phi\Phi' = \Phi'\Phi = I)$$

$$\implies \Phi'\mathcal{L}\Phi = \text{diag}\{0, \lambda_2, \dots, \lambda_N\}$$

- 相似变换 $\hat{\delta}(k) = (\Phi' \otimes I_n)\delta(k)$

$$\begin{aligned} \implies \hat{\delta}_1(k) &= \left(\frac{\mathbf{1}_N'}{\sqrt{N}} \otimes I_n\right)\delta(k) \\ &= \left(\frac{\mathbf{1}_N'}{\sqrt{N}} \otimes I_n\right) \left(I_N \otimes I_n - \frac{\mathbf{1}_N\mathbf{1}_N'}{N} \otimes I_n\right) X(k) \\ &= \left(\frac{\mathbf{1}_N'}{\sqrt{N}} \otimes I_n - \frac{\mathbf{1}_N'\mathbf{1}_N\mathbf{1}_N'}{\sqrt{N}N} \otimes I_n\right) X(k) \equiv 0 \end{aligned}$$

离散时间一致性问题分析

误差动态特性—无向图

$$\begin{aligned}\hat{\delta}(k) &= (\Phi' \otimes I_n) \delta(k) \\ \implies \hat{\delta}(k+1) &= (\Phi' \otimes I_n) \delta(k+1) \\ &= (\Phi' \otimes I_n) (I_N \otimes A - \mathcal{L} \otimes BK) (\Phi \otimes I_n) \hat{\delta}(k) \\ &= (I_N \otimes A - \text{diag}\{0, \lambda_2, \dots, \lambda_N\} \otimes BK) \hat{\delta}(k) \\ \implies \hat{\delta}_i(k+1) &= (A - \lambda_i BK) \hat{\delta}_i(k), i = 2, \dots, N,\end{aligned}$$

离散时间一致性问题分析

误差动态特性-无向图

$$\begin{aligned}\hat{\delta}(k) &= (\Phi' \otimes I_n) \delta(k) \\ \implies \hat{\delta}(k+1) &= (\Phi' \otimes I_n) \delta(k+1) \\ &= (\Phi' \otimes I_n) (I_N \otimes A - \mathcal{L} \otimes BK) (\Phi \otimes I_n) \hat{\delta}(k) \\ &= (I_N \otimes A - \text{diag}\{0, \lambda_2, \dots, \lambda_N\} \otimes BK) \hat{\delta}(k) \\ \implies \hat{\delta}_i(k+1) &= (A - \lambda_i BK) \hat{\delta}_i(k), i = 2, \dots, N,\end{aligned}$$

多智能体系统一致性控制问题等价于共同镇定问题

离散时间一致性问题分析

误差动态特性—有向图

- 选择 $r = [r_i]$ 满足 $r' \mathcal{L} = 0$ 和 $r' \mathbf{1}_N = 1$
- 令

$$\delta_i(k) = x_i(k) - \sum_{j=1}^N r_j x_j(k)$$

$$\delta(k) = [\delta'_1(k) \quad \cdots \quad \delta'_N(k)]'$$

- 存在 S, Y 使得 $\Phi = \begin{bmatrix} \mathbf{1}_N & Y \end{bmatrix}$, $\Phi^{-1} = \begin{bmatrix} r' \\ S \end{bmatrix}$ 满足

$$\Phi^{-1} \mathcal{L} \Phi = \text{diag} \{0, \lambda_2, \dots, \lambda_N\}$$

- 令 $\hat{\delta}(k) = (\Phi^{-1} \otimes I_n) \delta(k)$. 当 \mathcal{G} 为有向图时, 多智能体系统 (1) 的一致性控制问题等价于

$$\hat{\delta}_i(k+1) = (A - \lambda_i BK) \hat{\delta}_i(k), i = 2, \dots, N$$

的共同镇定问题

定理 2

给定通信网络拓扑图 \mathcal{G} , 多智能体系统 (1) 在一致性协议 (2) 下取得一致性当且仅当存在一个共同控制增益 K 使得

$$\rho(A - \lambda_i BK) < 1, \forall i = 2, \dots, N$$

离散时间一致性问题分析

引理 3

当假设条件①成立时, 存在临界值 $\gamma_c \in [0, 1)$, 使得修正代数 Riccati 不等式

$$P > A'PA - \gamma A'PB(B'PB)^{-1} B'PA \quad (3)$$

存在正定解 P 当且仅当 $\gamma > \gamma_c$ 。

- 离散时间代数 Riccati 方程

$$P = A'PA - A'PB(R + B'PB)^{-1} B'PA + Q$$

- 当 $\text{rank}(B) = n$ 时, $\gamma_c = 1 - \frac{1}{\rho(A)^2}$
- 当 $\text{rank}(B) = 1$ 时, $\gamma_c = 1 - \frac{1}{\prod_{i=1}^n \lambda_i(A)^2}$
- 参考文献:

L. Schenato, B. Sinopoli, M. Franceschetti, K. Poolla, and S. S. Sastry, "Foundations of control and estimation over lossy networks," *Proceedings of the IEEE*, 2007

离散时间一致性问题分析

定理 4

当假设条件①③成立时，多智能体系统 (1) 在一致性协议 (2) 下取得一致性当

$$\eta \triangleq 1 - \min_{\omega \in \mathbb{R}} \max_{i=2, \dots, N} |1 - \omega \lambda_i|^2 > \gamma_c, \quad (4)$$

其中 γ_c 是使修正代数 Riccati 不等式 (3) 存在正定解的 γ 的临界值。进而，令

$$\omega^* = \arg \min_{\omega \in \mathbb{R}} \max_{i=2, \dots, N} |1 - \omega \lambda_i|^2,$$

以及 $P > 0$ 是 $\gamma = \eta$ 时修正代数 Riccati 不等式 (3) 的正定解。则控制增益

$$K = \omega^* (B' P B)^{-1} B' P A$$

使得多智能体系统 (1) 取得一致性。

离散时间一致性问题分析

定理 4

当假设条件①③成立时，多智能体系统 (1) 在一致性协议 (2) 下取得一致性当

$$\eta \triangleq 1 - \min_{\omega \in \mathbb{R}} \max_{i=2, \dots, N} |1 - \omega \lambda_i|^2 > \gamma_c, \quad (4)$$

其中 γ_c 是使修正代数 Riccati 不等式 (3) 存在正定解的 γ 的临界值。进而，令

$$\omega^* = \arg \min_{\omega \in \mathbb{R}} \max_{i=2, \dots, N} |1 - \omega \lambda_i|^2,$$

以及 $P > 0$ 是 $\gamma = \eta$ 时修正代数 Riccati 不等式 (3) 的正定解。则控制增益

$$K = \omega^* (B' P B)^{-1} B' P A$$

使得多智能体系统 (1) 取得一致性。

离散时间一致性问题分析

证明:

- ① $\eta > \gamma_c \xrightarrow{\text{引理 3}}$ 当 $\gamma = \eta$ 时修正代数 Riccati 不等式 (3) 存在正定解, 记为 P
- ② 令 $\delta_i = 1 - \omega^* \lambda_i$. 显然, $|\delta_i|^2 < 1 - \eta$ for all $i \in \{2, \dots, N\}$
- ③ $K = \omega^* (B'PB)^{-1} B'PA \implies$ (H 表示共轭转置)

$$\begin{aligned} & (A - \lambda_i BK)^H P (A - \lambda_i BK) \\ &= A'PA - \lambda_i A'PBK - \lambda_i^H K' B'PA + \lambda_i^H \lambda_i K' B'PBK \\ &= A'PA + (-\lambda_i \omega^* - \lambda_i^H \omega^{*H} + \lambda_i^H \lambda_i \omega \omega^{*H}) A'PB (B'PB)^{-1} B'PA \\ &= A'PA + (|\delta_i|^2 - 1) A'PB (B'PB)^{-1} B'PA \\ &\leq A'PA - \eta A'PB (B'PB)^{-1} B'PA \\ &< P \end{aligned}$$

$\implies \rho(A - \lambda_i BK) < 1$ for all $i \in \{2, \dots, N\}$

\implies 由定理 2 得, K 解决了一致性问题, 即定理 4 成立

离散时间一致性问题分析

证明:

- ① $\eta > \gamma_c \xrightarrow{\text{引理 3}}$ 当 $\gamma = \eta$ 时修正代数 Riccati 不等式 (3) 存在正定解, 记为 P
- ② 令 $\delta_i = 1 - \omega^* \lambda_i$. 显然, $|\delta_i|^2 < 1 - \eta$ for all $i \in \{2, \dots, N\}$
- ③ $K = \omega^* (B'PB)^{-1} B'PA \implies$ (H 表示共轭转置)

$$\begin{aligned} & (A - \lambda_i BK)^H P (A - \lambda_i BK) \\ &= A'PA - \lambda_i A'PBK - \lambda_i^H K' B'PA + \lambda_i^H \lambda_i K' B'PBK \\ &= A'PA + (-\lambda_i \omega^* - \lambda_i^H \omega^{*H} + \lambda_i^H \lambda_i \omega \omega^{*H}) A'PB (B'PB)^{-1} B'PA \\ &= A'PA + (|\delta_i|^2 - 1) A'PB (B'PB)^{-1} B'PA \\ &\leq A'PA - \eta A'PB (B'PB)^{-1} B'PA \\ &< P \end{aligned}$$

$\implies \rho(A - \lambda_i BK) < 1$ for all $i \in \{2, \dots, N\}$

\implies 由定理 2 得, K 解决了一致性问题, 即定理 4 成立

离散时间一致性问题分析

证明:

- ① $\eta > \gamma_c \xrightarrow{\text{引理 3}}$ 当 $\gamma = \eta$ 时修正代数 Riccati 不等式 (3) 存在正定解, 记为 P
- ② 令 $\delta_i = 1 - \omega^* \lambda_i$. 显然, $|\delta_i|^2 < 1 - \eta$ for all $i \in \{2, \dots, N\}$
- ③ $K = \omega^* (B'PB)^{-1} B'PA \implies$ (H 表示共轭转置)

$$\begin{aligned} & (A - \lambda_i BK)^H P (A - \lambda_i BK) \\ &= A'PA - \lambda_i A'PBK - \lambda_i^H K' B'PA + \lambda_i^H \lambda_i K' B'PBK \\ &= A'PA + (-\lambda_i \omega^* - \lambda_i^H \omega^{*H} + \lambda_i^H \lambda_i \omega \omega^{*H}) A'PB (B'PB)^{-1} B'PA \\ &= A'PA + (|\delta_i|^2 - 1) A'PB (B'PB)^{-1} B'PA \\ &\leq A'PA - \eta A'PB (B'PB)^{-1} B'PA \\ &< P \end{aligned}$$

$\implies \rho(A - \lambda_i BK) < 1$ for all $i \in \{2, \dots, N\}$

\implies 由定理 2 得, K 解决了一致性问题, 即定理 4 成立

离散时间一致性问题分析

定理 5

当假设条件①②成立时，多智能体系统 (1) 在一致性协议 (2) 下取得一致性当

$$\eta \triangleq 1 - \left(\frac{\lambda_N - \lambda_2}{\lambda_N + \lambda_2} \right)^2 > \gamma_c,$$

其中 γ_c 是使修正代数 Riccati 不等式 (3) 存在正定解的 γ 的临界值。进而，令 $P > 0$ 是 $\gamma = \eta$ 时修正代数 Riccati 不等式 (3) 的正定解。则控制增益

$$K = \frac{2}{\lambda_2 + \lambda_N} (B'PB)^{-1} B'PA$$

使得多智能体系统 (1) 取得一致性。

证明： \mathcal{G} 连通无向图 $\Rightarrow \lambda_i > 0, i = 2, \dots, N$

$$\Rightarrow \min_{\omega \in \mathbb{R}} \max_{i \in \{2, \dots, N\}} |1 - \omega \lambda_i|^2 = \left(\frac{\lambda_N - \lambda_2}{\lambda_N + \lambda_2} \right)^2, \omega^* = \frac{2}{\lambda_2 + \lambda_N}$$

离散时间一致性问题分析

定理 5

当假设条件①②成立时，多智能体系统 (1) 在一致性协议 (2) 下取得一致性当

$$\eta \triangleq 1 - \left(\frac{\lambda_N - \lambda_2}{\lambda_N + \lambda_2} \right)^2 > \gamma_c,$$

其中 γ_c 是使修正代数 Riccati 不等式 (3) 存在正定解的 γ 的临界值。进而，令 $P > 0$ 是 $\gamma = \eta$ 时修正代数 Riccati 不等式 (3) 的正定解。则控制增益

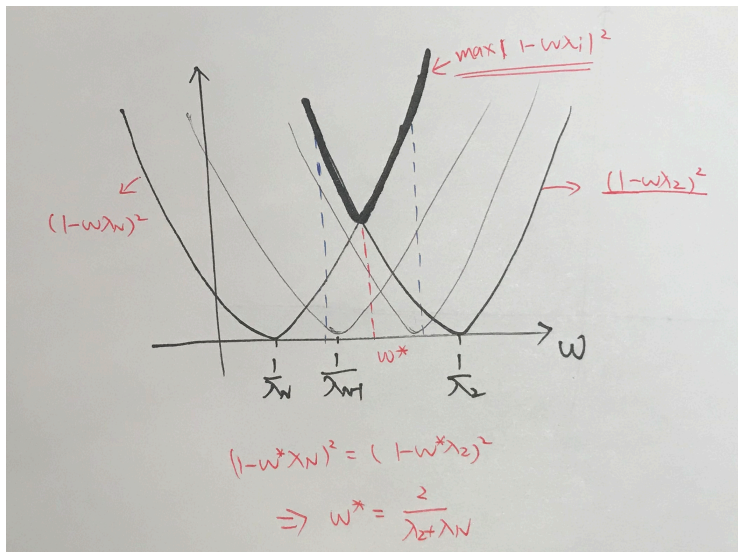
$$K = \frac{2}{\lambda_2 + \lambda_N} (B'PB)^{-1} B'PA$$

使得多智能体系统 (1) 取得一致性。

证明： \mathcal{G} 连通无向图 $\Rightarrow \lambda_i > 0, i = 2, \dots, N$

$$\Rightarrow \min_{\omega \in \mathbb{R}} \max_{i \in \{2, \dots, N\}} |1 - \omega \lambda_i|^2 = \left(\frac{\lambda_N - \lambda_2}{\lambda_N + \lambda_2} \right)^2, \omega^* = \frac{2}{\lambda_2 + \lambda_N}$$

离散时间一致性问题分析



离散时间一致性问题分析

$$\eta \triangleq 1 - \left(\frac{\lambda_N - \lambda_2}{\lambda_N + \lambda_2} \right)^2 = 1 - \left(\frac{1 - \lambda_2/\lambda_N}{1 + \lambda_2/\lambda_N} \right)^2$$

- λ_2/λ_N : 拓扑结构的同步性能力
- $\lambda_2/\lambda_N \rightarrow 1$: 图趋于完整图 (任意两个顶点都有边), 任何可控的多智能体系统可以取得一致性
- \mathcal{G} 增加或减少一条边, 对 λ_2/λ_N 的影响尚未完全确定
例子: 向 \mathcal{G}_1 添加一条边得到 \mathcal{G}_2 , 但是 λ_2/λ_N 反而下降

$$\mathcal{L}_{\mathcal{G}_1} = \begin{bmatrix} 3 & -1 & 0 & 0 & -1 & -1 \\ -1 & 3 & -1 & -1 & 0 & 0 \\ 0 & -1 & 3 & -1 & 0 & -1 \\ 0 & -1 & -1 & 3 & -1 & 0 \\ -1 & 0 & 0 & -1 & 3 & -1 \\ -1 & 0 & -1 & 0 & -1 & 3 \end{bmatrix}, \lambda_2/\lambda_N = 0.4$$

$$\mathcal{L}_{\mathcal{G}_2} = \begin{bmatrix} 4 & -1 & -1 & 0 & -1 & -1 \\ -1 & 3 & -1 & -1 & 0 & 0 \\ -1 & -1 & 4 & -1 & 0 & -1 \\ 0 & -1 & -1 & 3 & -1 & 0 \\ -1 & 0 & 0 & -1 & 3 & -1 \\ -1 & 0 & -1 & 0 & -1 & 3 \end{bmatrix}, \lambda_2/\lambda_N = 0.397$$

离散时间一致性问题分析

$$\eta \triangleq 1 - \left(\frac{\lambda_N - \lambda_2}{\lambda_N + \lambda_2} \right)^2 = 1 - \left(\frac{1 - \lambda_2/\lambda_N}{1 + \lambda_2/\lambda_N} \right)^2$$

- λ_2/λ_N : 拓扑结构的同步性能力
- $\lambda_2/\lambda_N \rightarrow 1$: 图趋于完整图 (任意两个顶点都有边), 任何可控的多智能体系统可以取得一致性
- \mathcal{G} 增加或减少一条边, 对 λ_2/λ_N 的影响尚未完全确定
例子: 向 \mathcal{G}_1 添加一条边得到 \mathcal{G}_2 , 但是 λ_2/λ_N 反而下降

$$\mathcal{L}_{\mathcal{G}_1} = \begin{bmatrix} 3 & -1 & 0 & 0 & -1 & -1 \\ -1 & 3 & -1 & -1 & 0 & 0 \\ 0 & -1 & 3 & -1 & 0 & -1 \\ 0 & -1 & -1 & 3 & -1 & 0 \\ -1 & 0 & 0 & -1 & 3 & -1 \\ -1 & 0 & -1 & 0 & -1 & 3 \end{bmatrix}, \lambda_2/\lambda_N = 0.4$$

$$\mathcal{L}_{\mathcal{G}_2} = \begin{bmatrix} 4 & -1 & -1 & 0 & -1 & -1 \\ -1 & 3 & -1 & -1 & 0 & 0 \\ -1 & -1 & 4 & -1 & 0 & -1 \\ 0 & -1 & -1 & 3 & -1 & 0 \\ -1 & 0 & 0 & -1 & 3 & -1 \\ -1 & 0 & -1 & 0 & -1 & 3 \end{bmatrix}, \lambda_2/\lambda_N = 0.397$$

离散时间一致性问题分析

定理 6

当假设条件①③成立且 $\text{rank}(B) = 1$, 多智能体系统 (1) 在一致性协议 (2) 下取得一致性当且仅当

$$\prod_j |\lambda_j^u(A)| < \frac{1}{\min_{\omega \in \mathbb{R}} \max_{j \in \{2, \dots, N\}} |1 - \omega \lambda_j|}.$$

定理 7

当假设条件①②成立且 $\text{rank}(B) = 1$, 多智能体系统 (1) 在一致性协议 (2) 下取得一致性当且仅当

$$\prod_j |\lambda_j^u(A)| < \frac{1 + \lambda_2/\lambda_N}{1 - \lambda_2/\lambda_N}.$$

$-\log(\prod_j |\lambda_j^u(A)|) = \sum_j \log |\lambda_j^u(A)|$: 拓扑熵率, 描述系统的不稳定性程度, 系统镇定需要的最少信息率

离散时间一致性问题分析

定理 6 必要性证明:

1) 不失一般性, 假设 (A, B) 是能控标准型的形式, 即

$$A = \begin{bmatrix} 0 & 1 & 0 & \cdots \\ \vdots & & \ddots & \ddots \\ 0 & \cdots & 0 & 1 \\ -\alpha_0 & -\alpha_1 & \cdots & -\alpha_{n-1} \end{bmatrix}; B = \begin{bmatrix} 0 \\ \vdots \\ 0 \\ 1 \end{bmatrix},$$

其中

$$\det(zI_n - A) = z^n + \alpha_{n-1}z^{(n-1)} + \cdots + \alpha_1z + \alpha_0$$

$$a_0 = (-1)^n \det(A) = (-1)^n \Pi_i \lambda_i^u(A)$$

$$|a_0| = \Pi_i |\lambda_i^u(A)|$$

离散时间一致性问题分析

2) 令 $K = [-k_0, -k_1, \dots, -k_{n-1}]$ 同时镇定 $(A, \lambda_i B)$ 。

$$A - \lambda_i BK = \begin{bmatrix} 0 & 1 & 0 & \cdots \\ \vdots & & \ddots & \ddots \\ 0 & \cdots & 0 & 1 \\ -\alpha_0 + \lambda_i k_0 & -\alpha_1 + \lambda_i k_1 & \cdots & -\alpha_{n-1} + \lambda_i k_{n-1} \end{bmatrix}$$

$$\Rightarrow \det(zI_n - A + \lambda_i BK) = z^n + (\alpha_{n-1} - \lambda_i k_{n-1})z^{n-1} + \dots + (\alpha_0 - \lambda_i k_0)$$

3) $A - \lambda_i BK$ 稳定

$$\Rightarrow |\alpha_0 - \lambda_i k_0| < 1 \Rightarrow |1 - \lambda_i k'_0| < \frac{1}{|\alpha_0|}, i \in \{2, \dots, N\}, k'_0 = k_0 / |\alpha_0|$$

$$\Rightarrow \min_{\omega \in \mathbb{R}} \max_{i \in \{2, \dots, N\}} |1 - \omega \lambda_i| \leq \max_{i \in \{2, \dots, N\}} |1 - \lambda_i k'_0| < \frac{1}{\prod_i |\lambda_i^u(A)|}$$

离散时间一致性问题分析

$\prod_j |\lambda_j^u(A)| < \frac{1}{\min_{\omega \in \mathbb{R}} \max_{j \in \{2, \dots, N\}} |1 - \omega \lambda_j|}$ 的等价检验条件:

- 令 $\lambda_j = r_j \exp(\theta_j i)$, $i^2 = -1$ 以及 $\Delta = 1 / (\prod |\lambda_j^u(A)|)$

-

$$\min_{\omega \in \mathbb{R}} \max_{j \in \{2, \dots, N\}} |1 - \omega \lambda_j| < \Delta$$

$$\iff \left\{ \omega \in \mathbb{R} \mid \max_{j \in \{2, \dots, N\}} |1 - \omega \lambda_j| < \Delta \right\} \neq \emptyset$$

$$\iff \cap_{j=2}^N \{ \omega \in \mathbb{R} \mid |1 - \omega \lambda_j| < \Delta \} \neq \emptyset$$

$$\iff \cap_{j=2}^N \{ \omega \in \mathbb{R} \mid |1 - \omega \lambda_j|^2 - \Delta^2 < 0 \} \neq \emptyset$$

$$\iff \bigcap_{j=2}^N \left(\frac{\cos \theta_j - \sqrt{\Delta_m^2 - \sin^2 \theta_j}}{r_j}, \frac{\cos \theta_j + \sqrt{\Delta_m^2 - \sin^2 \theta_j}}{r_j} \right) \neq \emptyset$$

离散时间一致性问题分析

应用：编队控制

- 编队控制问题是指一组多智能体通过局部的相互作用，使它们在运动过程中保持预先指定的几何图形，向指定的目标运动
- 预先指定的几何图形—编队向量 $H = [H_1^T, H_2^T, \dots, H_N^T]^T$
- 智能体 i, j 的期望相对距离： $H_i - H_j$
- 控制协议：

$$u_i(k) = K \sum_{j=1}^N a_{ij} [(x_j(k) - H_j) - (x_i(k) - H_i)] \quad (5)$$

- 编队控制：存在控制增益 K 使得闭环系统满足

$$\lim_{k \rightarrow \infty} \|(x_i(k) - H_i) - (x_j(k) - H_j)\| = 0, \forall i, j \in \mathcal{N}$$

离散时间一致性问题分析

- 定义 $\bar{x}(k) = \frac{1}{N} \sum_{i=1}^N x_i(k)$ 和平均编队向量 $\bar{H} \triangleq \frac{1}{N} \sum_{i=1}^N H_i$ 。令

$$\delta_i(k) \triangleq x_i(k) - H_i - (\bar{x}(k) - \bar{H})$$

\Rightarrow 实现编队等价于 $\lim_{k \rightarrow \infty} \|\delta_i(k)\| = 0, \forall i \in \mathcal{N}$

- $\delta_i(k)$ 动态特性:

$$\delta(k+1) = (I_N \otimes A - \mathcal{L} \otimes BK) \delta(k) + (I_N \otimes (A - I_n)) \begin{bmatrix} H_1 - \bar{H} \\ \vdots \\ H_N - \bar{H} \end{bmatrix}$$

- $\delta_i(k)$ 渐近稳定:

$$\Leftrightarrow (I_N \otimes (A - I_n)) (H_i - \bar{H}) = 0 \quad \forall i = 1, \dots, N$$

$$\Leftrightarrow A(H_j - H_i) = H_j - H_i \quad \forall i, j = 1, \dots, N$$

- $\delta(k+1) = (I_N \otimes A - \mathcal{L} \otimes BK) \delta(k)$

定理 8

给定编队向量 $H = [H_1^T, H_2^T, \dots, H_N^T]^T$, 当假设条件①②成立时, 多智能体系统 (1) 在控制协议 (5) 下实现编队当下述条件成立

① $A(H_j - H_i) = H_j - H_i \quad \forall i, j = 1, \dots, N$

② $1 - \left(\frac{\lambda_N - \lambda_2}{\lambda_N + \lambda_2} \right)^2 > \gamma_c.$

- ① 多智能体系统的基本概念
- ② 图论
- ③ 离散时间多智能体系统一致性问题分析
- ④ 连续时间多智能体系统一致性问题分析

连续时间一致性控制

连续时间多智能体线性系统

$$\dot{x}_i(t) = Ax_i(t) + Bu_i(t), \quad i \in \{1, \dots, N\} \quad (6)$$

- x_i : 第 i 个子系统的状态; u_i : 第 i 个子系统的输入
- 拓扑结构 $\mathcal{G} = \{\mathcal{V}, \mathcal{E}, \mathcal{A}\}$

分布式线性一致性协议

$$u_i(t) = K \sum_{j \in \mathcal{N}_i} (x_j(t) - x_i(t)) \quad (7)$$

一致性控制

存在控制增益 K 使得闭环系统满足

$$\lim_{t \rightarrow \infty} \|x_i(t) - x_j(t)\|^2 = 0, \quad \forall i, j \in \{1, \dots, N\}$$

假设条件

- ① A 的所有特征根不在左半平面内; $[A|B]$ 是可控的
- ② \mathcal{G} 包含一颗有向生成树

连续时间一致性问题分析

一致性控制问题等价于连续系统 $A - \lambda_i BK, i = 2, \dots, N$ 的共同镇定问题

定理 9

连续时间多智能体系统 (6) 在一致性协议 (7) 下取得一致性当且仅当假设条件①②成立。

- 参考文献

C. Q. Ma and J. F. Zhang, “Necessary and sufficient conditions for consensusability of linear multi-agent systems,” *IEEE Transactions on Automatic Control*, 2010.

- 当一个连续时间的多智能体系统的采样频率足够快时，其相应的离散化多智能体系统的不稳定特征根接近 1，则一致性条件 (4) 自动满足。

连续时间一致性问题分析

一致性控制问题等价于连续系统 $A - \lambda_i BK, i = 2, \dots, N$ 的共同镇定问题

定理 9

连续时间多智能体系统 (6) 在一致性协议 (7) 下取得一致性当且仅当假设条件①②成立。

- 参考文献
C. Q. Ma and J. F. Zhang, “Necessary and sufficient conditions for consensusability of linear multi-agent systems,” *IEEE Transactions on Automatic Control*, 2010.
- 当一个连续时间的多智能体系统的采样频率足够快时，其相应的离散化多智能体系统的不稳定特征根接近 1，则一致性条件 (4) 自动满足。

连续时间一致性问题分析

引理 10

当 (A, B) 可控时, 连续时间代数 *Riccati* 方程

$$A^T P + PA - PBB^T P + I_n = 0$$

存在唯一正定解 P , 且 $A - BB^T P$ 是 *Hurwitz*。进一步, 对任意 $\sigma \geq 1/2, \omega \in \mathbb{R}$, 矩阵 $A - (\sigma + i\omega)BB^T P (i^2 = -1)$ 也是 *Hurwitz*

证明:

- 假设存在 $\sigma \geq 1/2, \omega \in \mathbb{R}$ 使得 $A - (\sigma + i\omega)BB^T P$ 不是 *Hurwitz*, 也就是 $A - (\sigma + i\omega)BB^T P$ 有某特征根 λ 不在左半平面, 即 $\text{Re}\lambda \geq 0$.
- 令 $x \neq 0$ 是 λ 的一个特征向量, 即 $[A - (\sigma + i\omega)BB^T P] x = \lambda x$

连续时间一致性问题分析

引理 10

当 (A, B) 可控时, 连续时间代数 *Riccati* 方程

$$A^T P + PA - PBB^T P + I_n = 0$$

存在唯一正定解 P , 且 $A - BB^T P$ 是 *Hurwitz*。进一步, 对任意 $\sigma \geq 1/2, \omega \in \mathbb{R}$, 矩阵 $A - (\sigma + i\omega)BB^T P (i^2 = -1)$ 也是 *Hurwitz*

证明:

- 假设存在 $\sigma \geq 1/2, \omega \in \mathbb{R}$ 使得 $A - (\sigma + i\omega)BB^T P$ 不是 *Hurwitz*, 也就是 $A - (\sigma + i\omega)BB^T P$ 有某特征根 λ 不在左半平面, 即 $\text{Re}\lambda \geq 0$.
- 令 $x \neq 0$ 是 λ 的一个特征向量, 即 $[A - (\sigma + i\omega)BB^T P] x = \lambda x$

连续时间一致性问题分析

- 令 $\epsilon = 2\sigma - 1 \geq 0$, $*$ 表示共轭转置, 则有

$$\begin{aligned} & [A - (\sigma + i\omega)BB^TP]^* P + P[A - (\sigma + i\omega)BB^TP] + \epsilon PBB^TP + I \\ & = A^TP + PA - 2\sigma PBB^TP + \epsilon PBB^TP + I \end{aligned}$$

$$= A^TP + PA - PBB^TP + I = 0$$

$$\begin{aligned} \Rightarrow x^* [A - (\sigma + i\omega)BB^TP]^* Px + x^* P[A - (\sigma + i\omega)BB^TP] x \\ + x^* \epsilon PBB^TPx + x^* Ix = 0 \end{aligned}$$

$$\Rightarrow \lambda^* x^* Px + \lambda x^* Px + \epsilon x^* PBB^TPx + x^* Ix = 0$$

$$\Rightarrow 2\operatorname{Re}\lambda x^* Px + \epsilon x^* PBB^TPx + x^* Ix = 0$$

$$\begin{array}{ccc} \geq 0 & \geq 0 & > 0 \end{array}$$

- 矛盾 \Rightarrow 假设不成立, 也就是对任意 $\sigma \geq 1/2, \omega \in \mathbb{R}$, 矩阵 $A - (\sigma + i\omega)BB^TP$ 是 Hurwitz

连续时间一致性问题分析

- 令 $\epsilon = 2\sigma - 1 \geq 0$, $*$ 表示共轭转置, 则有

$$\begin{aligned} & [A - (\sigma + i\omega)BB^TP]^* P + P[A - (\sigma + i\omega)BB^TP] + \epsilon PBB^TP + I \\ &= A^TP + PA - 2\sigma PBB^TP + \epsilon PBB^TP + I \end{aligned}$$

$$= A^TP + PA - PBB^TP + I = 0$$

$$\begin{aligned} \Rightarrow x^* [A - (\sigma + i\omega)BB^TP]^* Px + x^* P[A - (\sigma + i\omega)BB^TP] x \\ + x^* \epsilon PBB^TPx + x^* Ix = 0 \end{aligned}$$

$$\Rightarrow \lambda^* x^* Px + \lambda x^* Px + \epsilon x^* PBB^TPx + x^* Ix = 0$$

$$\Rightarrow 2\operatorname{Re}\lambda x^* Px + \epsilon x^* PBB^TPx + x^* Ix = 0$$

$$\begin{array}{ccc} \geq 0 & \geq 0 & > 0 \end{array}$$

- 矛盾 \Rightarrow 假设不成立, 也就是对任意 $\sigma \geq 1/2, \omega \in \mathbb{R}$, 矩阵 $A - (\sigma + i\omega)BB^TP$ 是 Hurwitz

连续时间一致性问题分析

定理 9 充分性证明: (设计 K 使得 $A - \lambda_i BK, i = 2, \dots, N$ 是 Hurwitz)

① 假设条件① $\Rightarrow A^T P + PA - PBB^T P + I_n = 0$ 存在唯一正定解 P

② 假设条件② $\Rightarrow \operatorname{Re}(\lambda_i) > 0, i = 2, 3, \dots, N$

$$\delta \triangleq \min_{2 \leq i \leq N} \{\operatorname{Re}(\lambda_i)\}$$

③ 令 $K = \delta^{-1} B^T P$

$$\Rightarrow A - \lambda_i BK = A - \lambda_i \delta^{-1} BB^T P, \quad i = 2, 3, \dots, N$$

$$\operatorname{Re}(\lambda_i \delta^{-1}) \geq 1 \xrightarrow{\text{引理 9}} A - \lambda_i BK \text{ 是 Hurwitz}$$